

# LPOB85: Modèle du fluide parfait et applications

(1)

- Biblio:
- Mécanique des fluides et des ondes, BFR, Denoel (S'intègre PC)
  - H prépa Exercices et problèmes MP-PC
  - Hydrodynamique physique, Etienne Guyon ; Jean Pierre Hulin ; Luc Petit.

Niveau: L3

- Prérequis:
- Notion de base de la mécanique des fluides: description des fluides en mouvement (mécanique lagrangienne) viscosité, éq de Navier-Stokes, nombre de Reynolds.
  - Principe fondamental de la dynamique

Intro: Nous avons vu précédemment l'équation de Navier-Stokes cependant nous n'avons pas vu sa résolution et pour cause. Savoir si l'éq de Navier-Stokes admet une solution dans le cas général et si celle-ci est unique est un des problèmes du millénaire: problème jusqu'à présent insoluble. On va donc faire des approximations afin d'avoir une idée de ce ce qui se passe et du comportement de certains fluides. Le modèle que l'on va utiliser ici est le modèle du fluide parfait. On va ensuite appliquer ce modèle à des exemples concrets.

## I - Présentation du modèle du fluide parfait

### 1) Hypothèses du fluide parfait

- Hypothèse du fluide parfait: on néglige les phénomènes de diffusion dans le fluide : diffusion thermique mais aussi la diffusion de qualité de mouvement : viscosité.
- On considère donc que les phénomènes inertiels sont prépondérants sur les phénomènes visqueux :

c'est à dire :  $\eta \rightarrow 0$  donc  $Re = \frac{\rho VL}{\eta} \rightarrow +\infty$

## Exemple de nombre de Reynolds très grand :

$$\begin{aligned} V_{\text{eau}} &= 1,007 \cdot 10^{-6} \text{ m}^2 \text{s}^{-1} \\ \gamma_{\text{air}} &= 0,5 \cdot 10^{-6} \text{ m}^2 \text{s}^{-1} \quad \text{à } T = 25^\circ\text{C} \end{aligned}$$

[air] • oiseau :  $L = 0,05 \text{ m}$        $\left. \begin{array}{l} \\ N = 6 \text{ m.s}^{-1} \end{array} \right\} Re \approx 20000$

• aile d'avion :  $L \approx 3,5 \text{ m}$        $\left. \begin{array}{l} \\ N \approx 230 \text{ m.s}^{-1} \end{array} \right\} Re \approx 50 \cdot 10^6$

[eau] • bactérie dans l'eau :  $L \sim \mu \text{m}$        $\left. \begin{array}{l} \\ \nu \sim \mu \text{m.s}^{-1} \end{array} \right\} Re \approx 10^{-6}$

• vague dans l'eau :  $L \approx 1 \text{ m}$        $\left. \begin{array}{l} \\ V \approx 1 \text{ m.s}^{-1} \end{array} \right\} Re \approx 10^6$

## 2) Équation d'Euler

- Rappel : éq de Navier - Stokes pour un fluide incompressible ( $\rho = \text{cte}$  dans tout le fluide)

$$\rho \left( \frac{\partial \vec{v}}{\partial t} + (\vec{v} \cdot \vec{\nabla}) \vec{v} \right) = - \vec{\nabla} \rho + \rho \vec{g} + \eta \Delta \vec{v}$$

- Pour un fluide parfait :  $\eta \rightarrow 0$  donc l'équation de Navier - Stokes devient l'équation d'Euler :

$$\boxed{\rho \left( \frac{\partial \vec{v}}{\partial t} + (\vec{v} \cdot \vec{\nabla}) \vec{v} \right) = - \vec{\nabla} \rho + \rho \vec{g}}$$

## 3) Relation de Bernoulli

- Hypothèses :
  - modèle du fluide parfait
  - fluide incompressible  $\rho = \text{cte}$
  - écoulement statuaire :  $\frac{\partial \vec{v}}{\partial t} = 0$

forces nulles sur les particules autres que le poids

- Eq d'Euler :  $\rho \left[ \frac{1}{2} \vec{\nabla} \rho (v^2) - \vec{v} \cdot \vec{\nabla} (v \cdot \vec{v}) + \frac{\partial \vec{v}}{\partial t} \right] = - \vec{\nabla} \rho + \rho \vec{g} + \vec{f}_v = - \vec{\nabla} \rho_p$

$$\Leftrightarrow \rho \left[ \frac{1}{2} \vec{\nabla} \rho (v^2) - \vec{v} \cdot \vec{\nabla} (v \cdot \vec{v}) \right] = - \vec{\nabla} \rho + \rho \vec{g} + \vec{f}_v \text{ car écoulement statuaire.}$$

On a :  $\rho \vec{g} = \rho \vec{\nabla} \rho (-g^2)$  donc :  $\rho \left[ \frac{1}{2} \vec{\nabla} \rho (v^2) - \vec{v} \cdot \vec{\nabla} (v \cdot \vec{v}) \right] = - \vec{\nabla} \rho - \vec{\nabla} \rho (-g^2) - \vec{\nabla} \rho_p$

$$\Leftrightarrow \vec{\nabla} \rho \left( \frac{v^2}{\rho} + P + \rho g^2 \right) = \rho \vec{v} \cdot \vec{\nabla} v$$

On calcule la circulation le long d'une ligne de courant :

(2)

$$\int_A^B \text{grad} \left( \rho \frac{\vec{v}^2}{2} + P + \rho g z + e_p \right) \cdot d\vec{l} = \int_A^B (\rho \vec{v} \cdot \vec{n} \cdot \vec{v}) \cdot d\vec{l}$$

$$= 0 \text{ car } d\vec{l} \parallel \vec{v}$$

$$(2) P + \rho \frac{\vec{v}^2}{2} + \rho g z + e_p = \text{cte} \quad \text{le long d'une ligne de courant. relation de Bernoulli}$$

#### 4) Limite du modèle - Notion de couche limite

- Conditions aux limites à la surface d'un corps solide :

\* pour un fluide parfait :  $\vec{N}_{\text{solide}} \cdot \vec{n} \neq \vec{N}_{\text{fluide}} \cdot \vec{n}_{\text{paroi}}$  car il n'a pas de viscosité

\* Or pour un fluide réel :  $\vec{N}_{\text{fluide}} = \vec{N}_{\text{solide}}$  : les conditions tangentielles des vitesses du fluide et du solide doivent être égales  $\Rightarrow$  Notion de couche limite.

- Couche limite : dans un écoulement laminaire, le fluide peut être considéré comme parfait sauf dans une zone proche des parois d'un solide où l'on doit prendre en compte les effets visqueux pour respecter la condition aux limites.  $\Rightarrow$  limite du modèle du fluide parfait.
- taille de la couche limite : on doit commencer à prendre en compte les effets visqueux lorsque :

$$\frac{\|\rho(\vec{v} \cdot \text{grad}) \vec{v}\|}{\|\eta \vec{v}\|} = 1 \Leftrightarrow \frac{\rho \frac{V^2}{L}}{\eta \frac{V}{\delta^2}} = 1 \Leftrightarrow \delta^2 = \frac{\eta L}{\rho V} \Leftrightarrow \boxed{\delta = \frac{L}{\sqrt{Re}}}$$

ordre de grandeur :

\* aile d'avion :  $\delta \approx 0,5 \text{ mm}$  car  $L \approx 3,5 \text{ m}$  et  $Re \approx 50 \cdot 10^6$

Transition : on va maintenant appliquer le modèle du fluide parfait à des exemples concrets

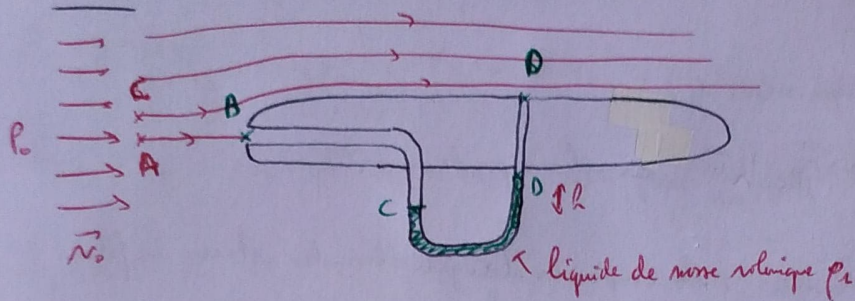
## II - Applications

### 1) Tube de Pitot

Le tube de Pitot a pour but de mesurer la vitesse d'un écoulement en le perturbant le moins possible.

Il est notamment utilisé sur les avions, comme anémomètre pour la météorologie.

Schéma:



On suppose que les surfaces ne perturbent pas l'écoulement et que la masse volumique de l'air est constante.

On suppose le fluide parfait (on néglige l'effet de la couche limite ici).

Si l'écoulement est pesant, on peut faire les approximations suivantes :

$$N_B = 0.$$

$$N_D \approx N_0$$

On applique le théorème de Bernoulli entre les 2 lignes de courant :

$$\cdot P_A + \rho \frac{N_A^2}{2} + \rho g z_A = P_B + \rho \frac{N_B^2}{2} + \rho g z_B \Leftrightarrow P_0 + \rho \frac{N_0^2}{2} = P_B$$

$$\cdot P_C + \rho \frac{N_C^2}{2} + \rho g z_C = P_D + \rho \frac{N_D^2}{2} + \rho g z_D \Leftrightarrow P_D = P_0$$

donc :  $P_B - P_D = \rho \frac{N_0^2}{2}$

• On considère l'air au repos dans les tubes et on néglige l'effet de l'altitude sur la masse volumique

$\Rightarrow$  niveau au niveau de l'eau est la même que en B et en D

• Équilibre hydrostatique dans le tube :  $P_B - P_D = \rho_1 g H$

donc :  $P_B - P_D = \rho_1 g h = \rho_{\text{air}} \frac{N_0^2}{2} \Leftrightarrow N_0 = \sqrt{\frac{2 \rho_1 g H}{\rho_{\text{air}}}}$

AN:  $h$  pour un avion et pour un fluide comme l'eau :  $h \approx 7 \text{ mm}$

(métar)

pour avion  $h \approx 3,5 \text{ m}$  pas adaptée.

## 2) Tube de Venturi

- On étudie l'écoulement dans un étranglement pour un écoulement à débit constant.
- Présentation du système avec la main.

On fait les mêmes hypothèses que pour le tube de Pitot.

- \* Bernoulli sur la ligne de courant passant par A<sub>1</sub> et A<sub>2</sub>

$$P_{A_1} + \frac{\rho}{2} V_{A_1}^2 + \rho g z_{A_1} = P_{A_2} + \frac{\rho}{2} V_{A_2}^2 + \rho g z_{A_2} \Rightarrow P_{A_1} + \frac{\rho}{2} V_{A_1}^2 = P_{A_2} + \frac{\rho}{2} V_{A_2}^2$$

On a:  $P_{B_1} = P_{A_1}$  et  $P_{B_2} = P_{A_2}$  car  $p_{air}$  est facile devant  $\rho_0$

hydrostatique:  $P_{B_1} - P_{B_2} = \rho_0 g h$

En considérant que  $P_A = P_0 \Rightarrow \rho_0 g h = \frac{p_{air}}{2} (V_2^2 - V_1^2)$

• débit constant:  $V_2 S_2 = V_1 S_1 = Q \Rightarrow 2 \rho_0 g h = p_{air} V_2^2 \left(1 - \frac{S_1^2}{S_2^2}\right) = P_{A_1} - P_{A_2}$

donc  $2 \rho_0 g h = p_{air} Q^2 \left(\frac{1}{S_2^2} - \frac{1}{S_1^2}\right)$

$S_1 > S_2 \Rightarrow P_{A_1} > P_{A_2}$

donc  $z_{A_1} > z_{A_2}$

d'où 
$$Q = \frac{S_1 S_2}{\sqrt{S_1^2 - S_2^2}} \sqrt{\frac{2 \rho_0 g h}{p_{air}}}$$

On peut donc en déduire le débit dans le tube.

Conclusion: Avec le modèle de l'écoulement parfait, on a pu simplifier l'éq de Navier - Stokes et en tirer des applications très utiles qui sont utilisées dans des dispositifs technologiques non des avions, en météorologie, ... Le modèle peut donc donner des résultats concluants.

Néanmoins ce modèle à ces limites, il n'est valable que pour des  $Re$  très grands mais aussi en dehors des couches limites.

## Remarques du correcteur

- Precisez l'hypothèse isentropique du modèle du fluide parfait
- Connaitre un exemple d'application (ex: vidange de Toricelli)
- Connaitre la différence entre modèle du fluide parfait et écoulement parfait.
- Connaitre exemples d'autres forces moléculaires (Bernoulli) (ex: force de Laplace, accélération d'entrainement et de Coriolis, ...)
- Le plan est bon et le contenu est assez bon.